

北京化工大学本科毕业设计（论文）

微生物土壤运移模型的求解及仿真软件编制

中期检查报告

陆秋文

北京化工大学生命科学与技术学院

指导教师

周 延

二〇一三年三月十五日

1 问题的背景

在环境工程领域，我们需要对受污染的土壤进行治理。一个比较好的方法就是生物原位修复，即将分离的到的或基因工程合成的细菌或营养物质注入土壤，使其运移到受污染处并大量繁殖，分解有毒物质，达到治理目的。这样，我们需要对土壤中微生物的运动规律进行研究。

在解决传染病、垃圾处理、污水灌溉处理等问题上，人们逐渐认识到了微生物在这些介质中运动是有一定规律的，并有一些学者在这些领域上对微生物的运动规律进行了研究。随着研究的深入和微生物在提高石油开采量、放射性物质和有机污染物的携带运移、提高冶炼率等问题中的应用，更加需要对微生物运动规律的了解，而且要求越来越精确。这样，对微生物运动规律的研究就显得格外有意义。

微生物在土壤中的运移过程看似简单，实际很复杂。其运移机理包括生长、吸附、解吸、沉积（过滤、布朗扩散、截流、沉降）、腐解、钝化、滞留等过程，确定微生物运移速率、时间、分布范围，最大限度地提高细菌降解作用，减少细菌本身的再污染，有必要对微生物在土壤中运移及其影响因素进行定量研究，建立数学模型。

2 问题的数学模型

为了对微生物运动位移进行定量研究，首先应当清楚影响其运动的原因。这个原因有两个方面，一为土壤地下水环境造成的影响，另外一个微生物自身的因素。

2.1 影响微生物运移规律的因素

微生物在土壤多孔介质中的迁移受到各种非生物和生物因素的影响。这些因素可概括为两个主要方面，即水文地质因素和微生物因素。其中水文地质因素包括多孔介质的结构、质地、有机质含量、氧化膜以及地下水水流速度、溶液化学成分、溶液 pH 值、离子强度等；微生物因素包括细胞的生理状态、细胞的生长与衰亡、细胞的趋磁性、细胞的吸附过程、过滤效应等。除上述因子控制细菌迁移以外，各因子互相影响也很复杂，而且微生物本身是活体，常被称为“活胶体”，受环境影响较大。以上这些复杂因素就增加了微生物迁移研究的难度。

微生物方面的因素对其运移规律也有着重要的影响，包括微生物吸附、微生物生理状态、微生物运动性、趋向性等。

2.2 数学模型的建立

为了建立微生物在饱和地下环境中迁移过程的数学模型，在对微生物迁移过程研究中，作如下基本假定：

1. 土壤是一个均质体；
2. 水流是稳定的；
3. 土壤孔隙率是一定的；
4. 微生物细胞在液相中均匀悬浮；

根据资料，我们看到液相微生物的质量守恒方程，表示为：

$$\frac{\partial(\theta S_w C_w)}{\partial t} = -\nabla(\theta S_w C_w v_w) + \nabla[\theta S_w D_w \nabla v_w] + I + B_w \quad (2.1)$$

式中，

θ 为介质的孔隙度；

S_w 为含水饱和度；

C_w 为液相中微生物的浓度，mol/L³；

V_w 为液相的总流动速度，L/T；

D_w 液相微生物的物理弥散系数，L²/T；

I 为单位体积土壤中微生物在液相固相之间的传质速率，mol/(TL³)；

B_w 为微生物生长的生物反应速率，mol/(TL³)

式 2.1 左侧表示微生物的累积，右侧第一项为对流项，第二项为水动力弥散项，第三项为相间传质项，第四项为生物反应项。

考虑一个方向，微生物的迁移方程简化为：

$$\frac{\partial C}{\partial t} = D \frac{\partial^2 C}{\partial x^2} - v \frac{\partial C}{\partial x} - k_{att} \theta C + k_{det} \rho S + \sigma C \quad (2.2)$$

式中，

C 为微生物在水相中的浓度，mg/m³；

S 为微生物在固体表面可逆吸附的浓度，mg/g；

ρ 为土壤的容重，g/m³；

D 为水动力弥散系数, m^2/s ;

v 为流速, m/s

k_{att} 为可逆吸附常数, s^{-1}

k_{det} 为可逆解析常数, s^{-1}

σ 为微生物比生长速率, s^{-1}

其中, 流速只考虑孔隙流速, 孔隙流速可以表示为:

$$v = \frac{Q}{A\theta} \quad (2.3)$$

式中,

Q 表示测定微生物穿透曲线的控制流量, m^3/s

A 为土柱横截面积, m^2

在一维情况下, 水动力弥散系数为:

$$D = \alpha v + D_e \quad (2.4)$$

式中,

α 弥散度, m ;

v 孔隙流速, m/s ;

D_e 有效扩散系数, m^2/s ;

3 数学模型中的参数

将方程简化, 得到方程 3.1:

$$R \frac{\partial C}{\partial t} = D \frac{\partial^2 C}{\partial x^2} - v \frac{\partial C}{\partial x} - \mu RC \quad (3.1)$$

其中, C 的单位为 mg/ml 。

参考文献与相关实验结果, 我们看到各类微生物的运移参数如表 1、表 2。

表 3 的参数是按照方程

$$\frac{\partial C}{\partial t} = \alpha \frac{\partial^2 C}{\partial x^2} - \beta \frac{\partial C}{\partial x} - \gamma C + \delta \quad (3.2)$$

所表现的模型测得的, 其中 C 的单位为 mg/m^3 。

得到了数学模型的参数, 就可以对数学模型进行求解了。

表 1: 大肠杆菌运移参数

初始浓度	$v(\text{cm}/\text{min})$	$D(\text{cm}^2/\text{min})$	$\mu(\text{min}^{-1})$	R
10^6	0.303	0.340	0.0123	1.20
	0.608	0.607	0.0286	1.05
	0.901	0.978	0.0362	1.02
10^7	0.303	0.316	0.0105	1.03
	0.607	0.610	0.0183	1.00
	1.050	0.905	0.0273	1.00
10^8	0.309	0.315	0.0106	1.00
	0.608	0.616	0.0192	1.00
	1.060	0.917	0.0205	1.00

表 2: IBV、MS2 病毒运移参数

病毒类别	$v(\text{cm}/\text{s})$	$D(\text{cm}^2/\text{h})$	$\mu(\text{h}^{-1})$	R
IBV	3.12	0.39	0.18	1.10
MS2	1.60	0.10	0.09	0.98

表 3: 细菌运移参数

菌名	$\alpha(\text{m}^2/\text{s})$	$\beta(\text{m}/\text{s})$	$\gamma(\text{s}^{-1})$	$\delta(\text{T}^{-1})$
巨大芽孢杆菌	3.66×10^{-6}	0.0006	1.035×10^{-3}	7.819×10^5
假单胞菌	3.66×10^{-6}	0.0006	1.505×10^{-3}	1.338×10^6
大肠杆菌	3.66×10^{-6}	0.0006	5.413×10^{-3}	4.547×10^6
枯草芽孢杆菌	3.66×10^{-6}	0.0006	5.626×10^{-4}	2.067×10^6
金黄色葡萄球菌	3.66×10^{-6}	0.0006	2.037×10^{-3}	9.024×10^5
微球菌	3.66×10^{-6}	0.0006	2.238×10^{-3}	1.343×10^6

4 问题的数学模型求解

从问题中得出抽象的数学表达，得到方程 4.1:

$$\frac{\partial C}{\partial t} = \alpha \frac{\partial^2 C}{\partial x^2} - \beta \frac{\partial C}{\partial x} - \gamma C + \delta \quad (4.1)$$

这是一个对流扩散反应方程。

参考表 3 可以看到 $\beta \gg \alpha$ ，故此方程为一个对流占优的对流扩散反应方程。

解这样的方程是困难的，我们首先解扩散方程，然后解对流方程，再尝试解对流——扩散——反应方程。

4.1 扩散方程

考虑这样的方程，即方程 4.2

$$\frac{\partial C}{\partial t} - a^2 \frac{\partial^2 C}{\partial x^2} = 0 \quad (4.2)$$

它的定解条件为

$$\begin{aligned} C(x=0, t) &= 0 \\ \left. \frac{\partial C}{\partial x} \right|_{x=L} &= 0 \end{aligned} \quad (4.3)$$

$$C(x, t)|_{t=0} = \psi(x) \quad (4.4)$$

泛定方程和边界条件都是齐次的，应用分离变数法，其试探解

$$C(x, t) = X(x)T(t) \quad (4.5)$$

代入方程 4.2、4.3，得

$$\frac{\partial^2 X}{\partial x^2} + \lambda X = 0 \quad (4.6)$$

$$X(0) = 0, X'(l) = 0 \quad (4.7)$$

$$\frac{\partial T}{\partial t} + \lambda a^2 T = 0 \quad (4.8)$$

考虑 λ 为实数的情况，当 $\lambda < 0$ 时，方程 4.6 的解为

$$X(x) = C_1 e^{\sqrt{-\lambda}x} + C_2 e^{-\sqrt{-\lambda}x} \quad (4.9)$$

积分常数 C_1 和 C_2 由条件 4.3 确定，解得 $X(x) = 0$ ，这是没有意义的。

同样，当 $\lambda = 0$ 时 $X(x) = 0$ ，没有意义，我们来看 $\lambda > 0$ 时的情况，方程 4.6 的解为

$$X(x) = C_1 \cos \sqrt{\lambda}x + C_2 \sin \sqrt{\lambda}x \quad (4.10)$$

积分常数 C_1 和 C_2 由条件 4.3 确定，即

$$\begin{aligned} C_1 &= 0 \\ C_2 \sqrt{\lambda} \cos \sqrt{\lambda}l &= 0 \end{aligned} \quad (4.11)$$

令 $\cos \sqrt{\lambda}l = 0$, 即 $\sqrt{\lambda}l = (k + 1/2)\pi (k = 0, 1, 2, \dots)$, 有

$$\lambda = \frac{\left(k + \frac{1}{2}\right)^2 \pi^2}{l^2} = \frac{(2k + 1)^2 \pi^2}{4l^2} \quad (k = 0, 1, 2, \dots) \quad (4.12)$$

给出了本征值, 其本征函数为

$$X(x) = C_2 \sin \frac{(2k + 1)\pi}{2l} x \quad (k = 0, 1, 2, \dots) \quad (4.13)$$

我们来看关于 T 的方程, 根据式 4.12, 有

$$\frac{\partial T}{\partial t} + \frac{\left(k + \frac{1}{2}\right)^2 \pi^2}{l^2} a^2 T = 0 \quad (4.14)$$

解为

$$T_k(t) = C e^{-\frac{\left(k + \frac{1}{2}\right)^2 \pi^2 a^2}{l^2} t} \quad (k = 0, 1, 2, \dots) \quad (4.15)$$

这样, $C(x, t)$ 的解应是

$$u(x, t) = \sum_{k=0}^{\infty} C_k e^{-\frac{\left(k + \frac{1}{2}\right)^2 \pi^2 a^2 t}{l^2}} \sin \frac{\left(k + \frac{1}{2}\right) \pi x}{l} \quad (4.16)$$

将方程 4.2 代入方程 4.4 中, 有

$$\sum_{k=0}^{\infty} C_k \sin \frac{\left(k + \frac{1}{2}\right) \pi x}{l} = \psi(x) \quad (0 < x < l) \quad (4.17)$$

确定了系数 C_k 。

4.2 对流方程

忽略掉扩散项, 得到方程 4.18

$$R \frac{\partial C}{\partial t} + v \frac{\partial C}{\partial x} = -\mu C + \delta \quad (4.18)$$

是一个一阶线性偏微分方程, 其定解条件为:

$$x = 0, t > 0, c = c_0 \quad (4.19)$$

$$x = \infty, t > 0, c = 0 \quad (4.20)$$

$$t = 0, c = f(x) = 0 \quad (4.21)$$

这是一个半无界问题。

将方程 4.18 作变换，令 $a = v/R$ 、 $b = \mu/R$ 、 $D = \delta/R$ 有

$$\frac{\partial C}{\partial t} + a \frac{\partial C}{\partial x} = -bC + D \quad (4.22)$$

令

$$\begin{cases} \xi = x - at \\ \eta = x + at \end{cases} \quad (4.23)$$

即

$$\begin{cases} x = \frac{1}{2}(\xi + \eta) \\ t = \frac{1}{2a}(\eta - \xi) \end{cases} \quad (4.24)$$

用式 4.23 作映射变换，即

$$\frac{\partial C}{\partial \xi} = \frac{\partial C}{\partial t} \frac{dt}{d\xi} + \frac{\partial C}{\partial x} \frac{dx}{d\xi} = -\frac{1}{2a} \frac{\partial C}{\partial t} + \frac{1}{2} \frac{\partial C}{\partial x} \quad (4.25)$$

$$\frac{\partial C}{\partial \eta} = \frac{\partial C}{\partial t} \frac{dt}{d\eta} + \frac{\partial C}{\partial x} \frac{dx}{d\eta} = \frac{1}{2a} \frac{\partial C}{\partial t} + \frac{1}{2} \frac{\partial C}{\partial x} \quad (4.26)$$

我们再看方程 4.22，在变换 4.23 下有

$$2a \frac{\partial C}{\partial \eta} = -bC + D \quad (4.27)$$

是比较简单的偏微分方程，它的通解为

$$C = C_1(\xi) e^{-\frac{b}{2a}\eta} + \frac{D}{b} \quad (4.28)$$

即

$$C(x, t) = C_1(x - at) e^{-\frac{b}{2a}(x+at)} + \frac{D}{b} \quad (4.29)$$

由初值条件 4.21，即 $C(x, t)|_{t=0} = f(x)$ ，有

$$C_1(x) = e^{\frac{b}{2a}x} \left(f(x) - \frac{D}{b} \right) \quad (x > 0) \quad (4.30)$$

由边界条件 4.19, 即 $C(x, t)|_{x=0} = c_0$, 有

$$C_1(x) = \left(c_0 - \frac{D}{b}\right) e^{-b \frac{x}{2a}} \quad (x < 0) \quad (4.31)$$

整理得

$$C(x, t) = \begin{cases} \left(f(x) - \frac{D}{b}\right) e^{-bt} + \frac{D}{b} & x - at > 0 \\ \left(c_0 - \frac{D}{b}\right) e^{-\frac{b}{a}x} + \frac{D}{b} & x - at < 0 \end{cases} \quad (4.32)$$

是对流方程 4.22 的解, 它的图像如图 1 所示。

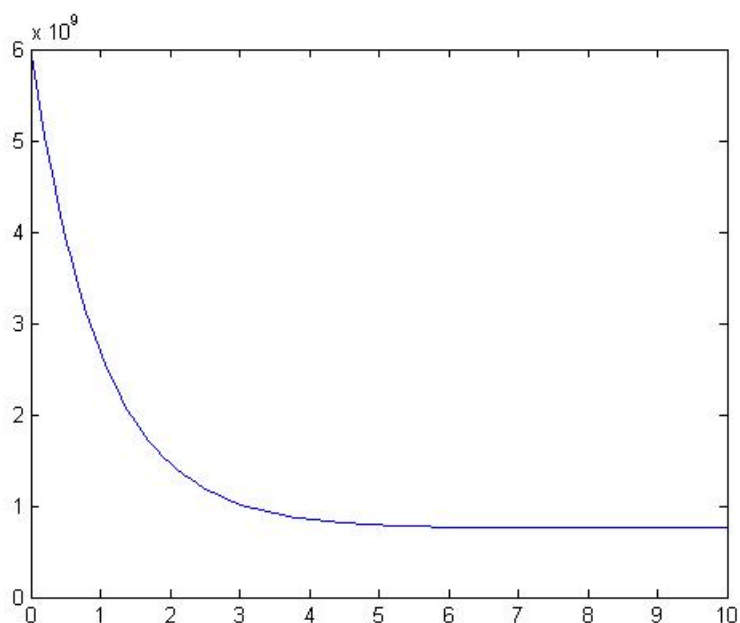


图 1: 对流方程的图像, 数据取自巨大芽孢杆菌对流方程

4.3 对流扩散反应方程求解

求解对流扩散反应方程是比较复杂的。现考虑采用线性变换的方法将一阶偏导数项消去, 化成单纯的扩散方程再来解。

目前, 本项工作正在进行。

5 有限差分法求解数学模型

考虑一个简单的对流扩散方程

$$\frac{\partial u}{\partial t} + a \frac{\partial u}{\partial x} = \nu \frac{\partial^2 u}{\partial x^2} \quad (5.1)$$

其中 a 、 ν 为常数， $\nu > 0$ ，给定初值

$$u(x, 0) = g(x) \quad (5.2)$$

构成了**对流扩散方程**的初值问题，在我们的模型中，它是一个对流占优的扩散问题。

将方程 5.1 差分，有

$$\frac{u_j^{n+1} - u_j^n}{\tau} + a \frac{u_{j+1}^n - u_{j-1}^n}{2h} = \nu \frac{u_{j+1}^n - 2u_j^n + u_{j-1}^n}{h^2} \quad (5.3)$$

其截断误差为 $O(\tau + h^2)$ 。

下面来分析差分格式 5.3 的稳定性，令

$$\lambda = a \frac{\tau}{h} \quad \mu = \nu \frac{\tau}{h^2} \quad (5.4)$$

则差分格式 5.3 改写为

$$u_j^{n+1} = u_j^n - \frac{1}{2} \lambda (u_{j+1}^n - u_{j-1}^n) + \mu (u_{j+1}^n - 2u_j^n + u_{j-1}^n) \quad (5.5)$$

我们给出用于判断差分格式稳定性的 **von Neumann** 定理，即

定理 5.1 (von Neumann 定理) 差分格式

$$u_j^{n+1} = C(x_j, \tau) u_j^n \quad (5.6)$$

稳定的必要条件是当 $\tau \leq \tau_0$ ， $n\tau \leq T$ ，对所有的 k 有

$$|\lambda_j(G(\tau, k))| \leq 1 + M\tau, \quad j = 1, 2, \dots, p, \quad (5.7)$$

其中 $|\lambda_j(G(\tau, k))|$ 表示 $G(\tau, k)$ 的特征值， M 为常数。

式 5.5 的增长因子为

$$G(\tau, k) = 1 - 2\mu(1 - \cos kh) - i\lambda \sin kh \quad (5.8)$$

模的平方为

$$\begin{aligned}
 |G(\tau, k)|^2 &= [1 - 2\mu(1 - \cos kh)]^2 + \lambda^2 \sin^2 kh \\
 &= 1 - 4\mu(1 - \cos kh) + 4\mu^2(1 - \cos kh)^2 + \lambda^2 \sin^2 kh \\
 &= 1 - (1 - \cos kh)[4\mu - 4\mu^2(1 - \cos kh) - \lambda^2(1 + \cos kh)]
 \end{aligned} \tag{5.9}$$

差分格式稳定的充分条件为

$$4\mu - 4\mu^2(1 - \cos kh) - \lambda^2(1 + \cos kh) \geq 0 \tag{5.10}$$

即

$$(2\lambda^2 - 8\mu^2) \frac{1 - \cos kh}{2} + 4\mu - 2\lambda^2 \geq 0 \tag{5.11}$$

注意到 $\frac{1}{2}(1 - \cos kh) \in [0, 1]$ ，上式应满足

$$(2\lambda^2 - 8\mu^2) + 4\mu - 2\lambda^2 \geq 0, \quad 4\mu - 2\lambda^2 \geq 0 \tag{5.12}$$

由此得到差分格式 5.3 的稳定性限制为

$$\tau \leq \frac{2\nu}{a^2} \tag{5.13}$$

$$\nu \frac{\tau}{h^2} = \frac{1}{2} \tag{5.14}$$

目前工作进行到这里，下一阶段将对差分法求解模型做更加深入的研究。

6 模型仿真计算的结果

利用 MATLAB PDETool 工具箱，采用有限元法，求解模型，其结果如附图 2、3、4、5、6、7 所示。

7 接下来的工作计划

接下来的主要工作在差分算法的研究与实现，尤其是三维模型的数值算法。如表 4 所示。

表 4: 工作计划表

时间	工作内容	工作地点
2013 年 4 月	三维方程求解算法的研究	机房
2013 年 5 月	数值仿真程序的编制	机房
2013 年 6 月	完成论文	实验室

参考文献

- [1] 刘法, 繆国庆, 梁昆森. 数学物理方法 (第四版)[M]. 高等教育出版社, 2010
- [2] 庞明勇. 基于离散模型的二维水波实时动态模拟方法 [J]. 水利学报. 2007, **38**(11):6
- [3] 张培文. 降雨条件下饱和-非饱和土径流渗流耦合数值模拟研究 [D]. 大连, 大连理工大学, 2002
- [4] 张文生. 科学计算中的偏微分方程有限差分方法 [M]. 高等教育出版社, 2006
- [5] 张瑞玲. 甲基叔丁基醚的生物降解机理与微生物在地下水中的迁移 [D]. 天津, 天津大学, 2007
- [6] 李焕荣. 土壤水动力系统的数值解法的分析与应用研究 [D]. 北京, 首都师范大学, 2007
- [7] 杨德军. 基于 SPAC 系统的土壤水动力学模型研究 [D]. 杭州, 浙江大学建筑工程学院, 2009
- [8] 王玉珉, 王印杰. 非饱和土壤 Richards 方程入渗求解探讨 [J]. 水文地质工程地质. 2004, **31**(1):6
- [9] 田富强, 胡和平. 基于常微分方程求解器的 Richards 方程数值模型 [J]. 清华大学学报 (自然科学版). 2007, **47**(6):4
- [10] 高琼. 大肠杆菌在土壤中的迁移特性实验研究 [D]. 天津, 天津大学, 2011
- [11] 高雷阜, 齐微. 改进的粒子群算法在偏微分方程中的仿真应用 [J]. 计算机仿真. 2011, **28**(12)

PDE 工具箱求解程序

```

function pdemodel
[pde_fig,ax]=pdeinit;
pdetool('appl_cb',1);
set(ax,'DataAspectRatio',[1 0.00600000000000000001 1]);
set(ax,'PlotBoxAspectRatio',[250 166.66666666666666 50]);
set(ax,'XLim',[0 10]);
set(ax,'YLim',[-0.02 0.02]);
set(ax,'XTickMode','auto');
set(ax,'YTickMode','auto');

% Geometry description:
pderect([0 10 0.0050000000000000001 -0.0050000000000000001],'R1');
set(findobj(get(pde_fig,'Children'),'Tag','PDEEval'),'String','R1')

% Boundary conditions:
pdetool('changemode',0)
pdesetbd(4,...
'dir',...
1,...
'1',...
'6e8')
pdesetbd(3,...
'neu',...
1,...
'0',...
'0')
pdesetbd(2,...
'neu',...
1,...

```

```

'0',...
'0')
pdesetbd(1,...
'neu',...
1,...
'0',...
'0')

% Mesh generation:
setappdata(pde_fig,'Hgrad',1.3);
setappdata(pde_fig,'refinemethod','regular');
setappdata(pde_fig,'jiggle',char('on','mean',''));
pdetool('initmesh')
pdetool('refine')
pdetool('refine')

% PDE coefficients:
pdeseteq(2,...
'3.66e-6',...
'1.035e-3',...
'7.819e5',...
'1.0',...
'0:10',...
'0.0',...
'0.0',...
'[0 100]')
setappdata(pde_fig,'currparam',...
['3.66e-6 ';...
'1.035e-3';...
'7.819e5 '];...

```

```
'1.0      '])

% Solve parameters:
setappdata(pde_fig,'solveparam',...
str2mat('0','2016','10','pdeadworst',...
'0.5','longest','0','1E-4','','fixed','Inf'))

% Plotflags and user data strings:
setappdata(pde_fig,'plotflags',[1 1 1 1 1 1 1 1 0 0 0 11 1 0 0 0 0 1]);
setappdata(pde_fig,'colstring','');
setappdata(pde_fig,'arrowstring','');
setappdata(pde_fig,'deformstring','');
setappdata(pde_fig,'heightstring','');

% Solve PDE:
pdetool('solve')
```

附图（仿真结果）

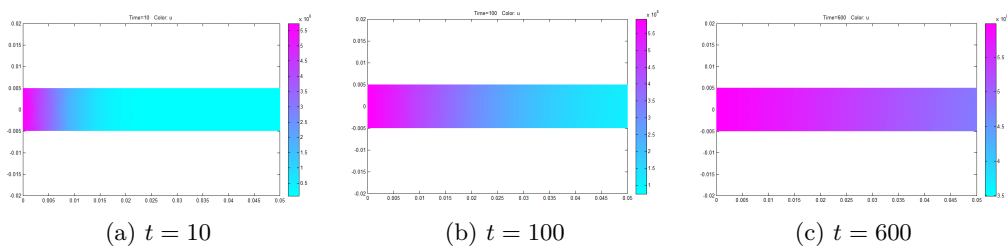


图 2: 巨大芽孢杆菌的仿真结果

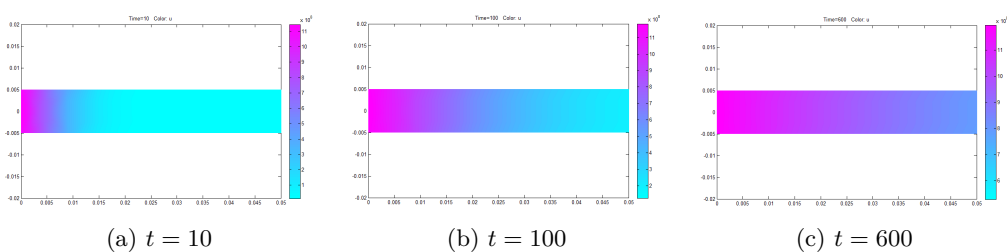


图 3: 假单胞菌的仿真结果

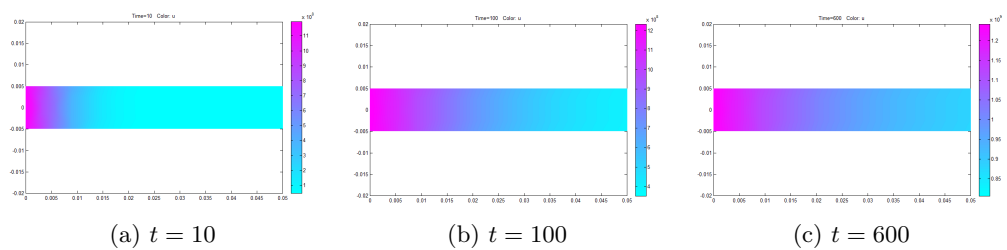


图 4: 大肠杆菌的仿真结果

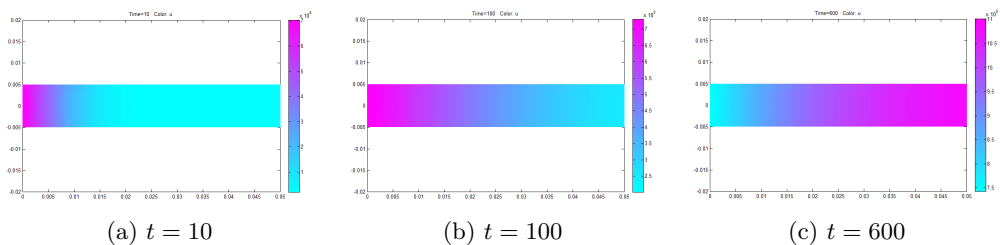


图 5: 枯草芽孢杆菌的仿真结果

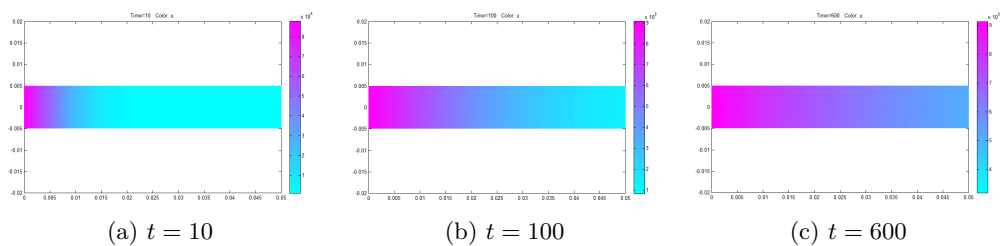


图 6: 金黄色葡萄球菌的仿真结果

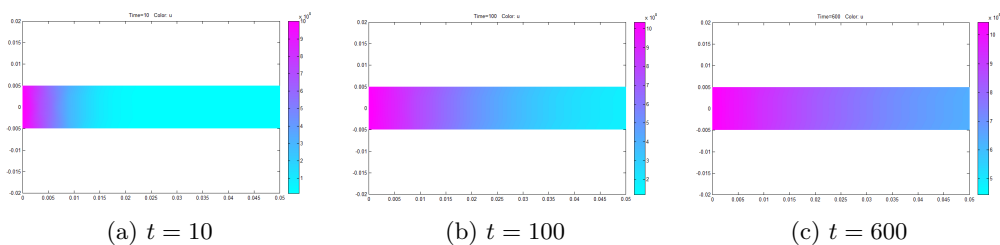


图 7: 微球菌的仿真结果